





Fig. 3. 은 누적 가공량이 68%인 직경이 0.81mm인 Ni-Ti 합금선을 섭씨 500도에서 30분간 열처리한 시편의 열분석 곡선으로 Fig. 2 와는 달리 단순한 S자 형태를 나타내고 있다. 가열곡선의 경우 25도 부근에서 형상기억 상변태가 시작(As)되며 약 40도 부근에서 형상기억 상변태가 완료(Af)되고 있음을 보여준다.

냉각곡선의 경우 Fig. 2. 와는 달리 R phase만 관찰되며 마르텐사이트 상변태는 관찰되지 않고 있다. 그 이유는 본 열분석시험에 저열원으로 드라이 아이스를 사용하였으므로 최저 냉각온도가 -70도이므로 마르텐사이트 상변태 개시온도(Ms)가 -70도 이하인 시편은 마르텐사이트 조직이 형성되어 있지 않은 상태에서 재가열이 되기 때문에 단순히 R phase 만이 모상(Parent Phase)으로 상변태되어 S자형 곡선으로 나타나고 있다. 두 그림을 비교하면 가공량이 많은 시편은 마르滕사이트 상변태가 나타나지 않는 S자형의 열분석곡선이 얻어짐을 알 수 있다. 이 경우 Ms, Mf 온도를 측정하기 위해서는 -70도 이하의 추가 냉각장치를 사용하여야만 측정이 가능하다.

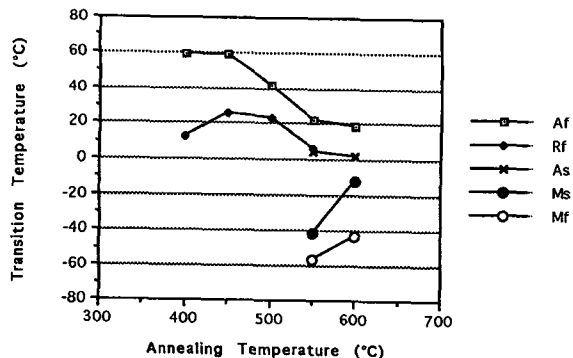


Figure 4. The diagram of the transition temperature change of annealed NiTi wire (0.81 mm)

Fig. 4. 는 외경의 크기가 0.81 mm인 Ni-Ti 합금의 열처리 온도와 상변태 온도와의 관계를 나타낸 그림이다. 그림에서 보는바와 같이 열처리 온도가 550도 이상으로 높아지면 Ms, Mf 온도는 상승하고 반대로 Rf, Af 온도는 감소한다. 다시 말하자면 열처리온도가 높아질 수록 상변태 진행구간의 온도범위가 감소되고 있음을 의미한다. 500도 이하의 온도에서 열처리한 시편들의 Ms, Mf 온도가 -70도 이하에 위치하므로 본 열분석장치로는 상변태 온도가 검출되지 않고 있다. 550도 이상에서 열처리한 시편들은 As, Rf, Af 상변태 온도들이 모두 상온인 20도 이하에 위치하므로 초탄성 효과를 나타내고 있으며 500도 이하에서 열처리한 시편들의 상변태 온도들은 20도 이상이므로 상온에서 형상기억 효과를 나타내고 있음을 알 수 있다.

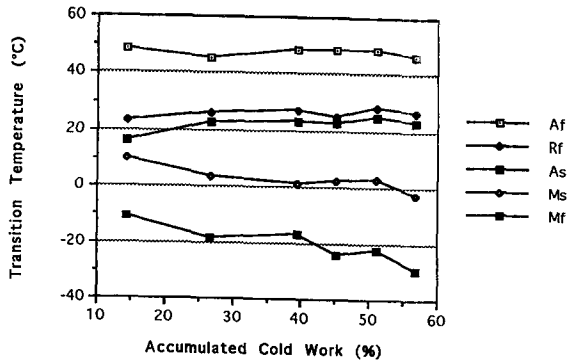


Figure 5. The diagram of the transition temperature vs. accumulated cold work % of 550°C 30min. annealed NiTi wire.

Fig. 5. 는 550도로 30분간 열처리한 Ni-Ti 합금선에 대하여 상변태온도들의 변화를 누적가공량에 따라서 도식화한 그림이다. 그림에서 보는바와 같이 가공량이 증가함에 따라서 Ms, Mf 상변태온도는 감소함을 보여주지만 As, Af, Rf 상변태 온도는 비교적 변화가 적음 을 나타낸다.

Fig. 4. 와 Fig. 5. 를 비교하면 Ms, Mf 상변태 온도는 기계적인 가공량과 열처리온도가 변화됨에 따라서 모두 변화되고 있음을 알 수 있다. 그러나 As, Af, Rf 상변태온도는 기계적인 가공의 영향보다는 열처리 온도에 의하여 영향을 더 많이 받고 있음을 알 수 있다.

그러므로 가이드와이어에 초탄성을 부여하려면 Af 온도가 상온이하에 위치하도록 열처리 온도를 500도 이상에서 실시하여야 하며, R phase 만 관여하는 상변태를 유지하기 위해서는 기계적인 가공량을 높여서 Ms, Mf 상변태 온도를 -40도 이하의 저온 상태로 낮추는 작업을 실시하여야 될 수 있다.

#### 4. 결론

이상의 실험결과를 종합하면 다음과 같은 결론을 얻을 수 있다.

첫째, 열분석 비저항 측정장치를 이용하여 카테터 가이드 와이어의 상변태온도를 측정할 수 있다.  
둘째, 초탄성에 관여하는 형상기억 상변태온도는 열처리 온도가 높아질 수록 낮아지며, 마르텐 사이트 상변태온도는 기계적인 가공량이 증가할 수록 낮아지며 열처리온도가 높아질 수록 상승함을 알 수 있다.

셋째, 카테터 가이드 와이어에 초탄성현상을 부가하기 위하여 형상기억 상변태온도를 상온 이하로 조절하여야 하며, 이 경우 본 기기에 의하여 측정된 비저항 열분석곡선은 S자 형태를 나타낸다.

## 5. 감사의 글

본 연구는 고려상사 주식회사로부터 연구비를 지원받아 수행되었음을 지면을 통하여 감사드립니다. 또한 실험장치의 제작과 전기저항 측정 실험을 도와준 의용재료연구실의 이경선님에게도 감사드립니다.

## 6. 참고문헌

1. Wyngaarden J. B., Smith L. H. and Bennett J. C. "Cecil textbook of medicine 19th ed." W. B. Saunders Co. 198-304 1992
2. Kim Y. K. "The development of super elastic catheter guide wire for percutaneous transluminal angioplasty" Research proposal Korea sangsa 1994.
3. El-Tamimi H., Davis G. J., Hackett D., Sritara. P., Betrand O., Crea F. and Maseri A. "Abnormal vasomotor changes early after coronary angioplasty", Circulation vol. 84, No 3, Sep. 1198-1202, 1991
4. Meyerovitz M. F., Friedman P. L., Ganz P., Selwyn A. P. and Levin D. "Acute occlusion developing during or immediately after percutaneous transluminal coronary angioplasty: Nonsurgical treatment", Radiology vol. 169 No 2 Nov. 491-494 1988
5. Barnhart W., Snidow J. J., Smith T. P., Castaneda E., Nakagawa N. and Cragg A. H., " New guide wire for high-flow infusion" Radiology vol. 174 No 3 1058-1059 1990
6. Judkins M. P., Kidd H. J. Frische L. H. and Dotter C. T. "Lumen-following safety J-guide for catheterization of tortuous vessels" Radiology vol. 88 1127-1130 Jun. 1967
7. Kim Y. K. "The grain size distribution study of heat treated Ni-Ti alloy", Inje Journal vol. 9, No 2. 857-868, 1993
8. Kim Y. K. "The study of the shape recovery temperature change of cold-worked nickel-titanium alloys", Inje Journal vol. 10, No 1. 341-351 1994
9. Kim Y. K. and Doo J. K. "The development of shape memory abdominal laparoscopic suture needles" Proceeding of KSMBE vol. 16 No 2 104-106 1994
- 10 Kim Y. K. Doo J. K. and Park J. B. " The application of shape memory alloy to abdominoscopic suture needles" Advanced Materials and Processing vol. 2. ed. Shin K. S, Yoon J. K. and Kim S. J. Korean Institute of Metals and Materials 1691-1696 1995